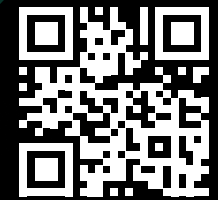


**1** Photo Courtesy of Dr. Urs Brodbeck. X-Ray image of an implant without a crown. **2** Photo Courtesy of Dr. Peter Schüpbach. Oral Microbiology. © peter schüpbach. **3** Photo Courtesy of Dr. Holger Zipprich. SEM image of brushes cleaning two types of dental implant. **4** Managing peri-implantitis: a modern perspective. A scientific review by Dr. Marcin Maj. **5** Ratka C, Weigl P, Henrich D, et al. The Effect of In Vitro Electrolytic Cleaning on Biofilm-Contaminated Implant Surfaces. *J Clin Med* 2019;8(9):1397. **6** Valderrama P, Wilson TG Jr. Detoxification of implant surfaces affected by peri-implant disease: an overview of surgical methods. *Int J Dent*. 2013;2013:740680. doi:10.1155/2013/740680. **7** Suarez F, Monje A, Galindo-Moreno P, et al. Implant Surface Detoxification: A Comprehensive Review. *Implant Dentistry*. October 2013 - Volume 22 - Issue 5 - p 465-473. **8** Schlee M, Rathe F, Brodbeck U, et al. Treatment of Peri-implantitis- Electrolytic Cleaning Versus Mechanical and Electrolytic Cleaning-A Randomized Controlled Clinical Trial-Six-Month Results. *J Clin Med* 2019;8(11):1909. **9** Bosshardt, D. D., Brodbeck, U. R., Rathe, F., Stumpf, T., Imber, J. C., Weigl, P., & Schlee, M. (2022). Evidence of re-osseointegration after electrolytic cleaning and regenerative therapy of peri-implantitis in humans: a case report with four implants. *Clinical oral investigations*, 26(4), 3735-3746. **10** Zipprich, H., Weigl, P., Di Gianfilippo, R., Steigmann, L., Henrich, D., Wang, H. L., ... & Ratka, C. (2022). Comparison of decontamination efficacy of two electrolyte cleaning methods to diode laser, plasma, and air-abrasive devices. *Clinical Oral Investigations*, 26(6), 4549-4558. **11** Schlee, M., Wang, H. L., Stumpf T., Brodbeck, U., Bosshardt, D., & Rathe, F. (2021). Treatment of perimplantitis with electrolytic cleaning versus mechanical and electrolytic cleaning: 18-month results from a randomized controlled clinical trial. *Journal of Clinical Medicine*, 10(16), 3475. **12** IFU GalvoSurge V3.4. **13** Schlee, M., Naili, L., Rathe, F., Brodbeck, U., & Zipprich, H. (2020). Is complete re-osseointegration of an infected dental implant possible? histologic results of a dog study: a short communication. *Journal of clinical medicine*, 9(1), 235. **14** Zipprich, H., Weigl, P., Di Gianfilippo, R, et al. Comparison of decontamination efficacy of two electrolyte cleaning methods to diode laser, plasma, and air-abrasive devices. *Clin Oral Invest* 26, 4549-4558 (2022). <https://doi.org/10.1007/s00784-022-04421-0>. **15** Adapted from Ratka C, et al. *J Clin Med*. 2019 Sep; 8(9): 1397 (under the licence : The Effect of In Vitro Electrolytic Cleaning on Biofilm-Contaminated Implant Surfaces - PMC (nih.gov)).

# 1 IMPLANT SUR 5\*

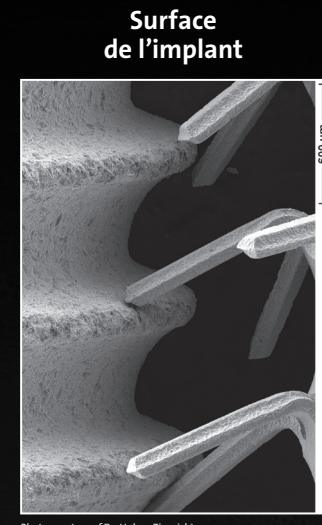
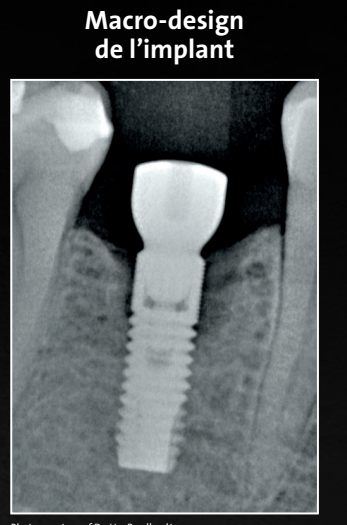
## EST ATTEINT DE PÉRI-IMPLANTITE

Et vous, comment les traitez-vous ?



\*Ref. Derkx J, Tomasi C. Peri-implant health and disease. A systematic review of current epidemiology. *J Clin Periodontal* 2015. Giovanni E. Salvi, Prof Dr med dent, \*Raluca Cosgarea, PD, Dr med dent, †+ Anton Sculean, Prof Dr med dent, MS\$, 2019

# QUELS SONT LES DÉFIS DU TRAITEMENT DE LA PÉRI-IMPLANTITE ?



**Accès à la surface de l'implant limité<sup>4</sup> pour des raisons :**

- Anatomiques
- De conception de l'implant (filets et contre-dépouilles)
- De conception de la restauration



## GALVOSURGE® LA SOLUTION CONTRE LES PÉRI-IMPLANTITES EN SEULEMENT 2 MINUTES, GALVOSURGE® :



**Élimine complètement** le biofilm<sup>5,6,7</sup>



**Décontamine** la surface exposée de l'implant, les spires et la microstructure **sans altérer la structure** de la surface de l'implant<sup>8,9,10</sup>



**Optimise les conditions** pour la régénération osseuse ou les procédures de greffe osseuse<sup>8,11</sup>



**RAPIDE**

La procédure prend 2 minutes



**EFFICACE**

Élimination du biofilm plus efficace que les méthodes actuelles de pointe<sup>8,11</sup>



**FIABLE**

Rend la surface de l'implant prête à la ré-ostéointégration<sup>5,8,11</sup>



**SÛR**

Sans danger pour les patients et respectueux des tissus durs et mous sains<sup>9,12,13</sup>

### 99,9%<sup>14</sup> DES BACTÉRIES ÉLIMINÉES

sur la surface de l'implant avec le nettoyage électrolytique

Taux de surface positive pour les bactéries vivantes colorées en vert ou les bactéries mortes colorées en rouge. Les surfaces des zones de test 1 et 2 étaient parallèles et inclinées de 60° par rapport aux axes de l'implant, et représentaient respectivement des zones d'accès facilité et d'accès difficile.

Groupe	Zone test 1 (surface %)			Zone test 2 (surface %)		
	Bactéries vivantes	Bactéries mortes	Total †	Bactéries vivantes	Bactéries mortes	Total †
Contrôle	56,16 ± 2,38	30,61 ± 3,46	<b>86,78 ± 3,33</b>	56,65 ± 1,23	33,29 ± 5,02	<b>89,94 ± 4,92</b>
AirFlow	1,73 ± 0,32	0,92 ± 0,59	<b>2,66 ± 0,83</b>	30,50 ± 2,17	11,62 ± 1,82	<b>42,12 ± 3,46</b>
Laser à diode	1,73 ± 0,32	9,20 ± 5,87	<b>23,45 ± 7,48</b>	24,07 ± 12,69	10,96 ± 4,46	<b>35,04 ± 15,95</b>
PlasmaOne	23,91 ± 2,24	9,33 ± 1,33	<b>33,25 ± 3,01</b>	28,43 ± 2,63	10,72 ± 1,48	<b>39,16 ± 3,15</b>
Nettoyage électrolytique-CHNaO <sub>2</sub>	0,008 ± 0,01	0,005 ± 0,003	<b>0,01 ± 0,01</b>	0,02 ± 0,02	0,03 ± 0,06	<b>0,06 ± 0,08</b>

Toutes les valeurs sont exprimées en moyenne ± écart-type. †La surface totale correspond au pourcentage de la surface positive pour les bactéries vivantes et mortes : somme des valeurs Bactéries vivantes + Bactéries mortes.

Comparaison de la désactivation du biofilm : nettoyage électrolytique vs systèmes de pulvérisation air-poudre-eau<sup>15</sup>



Avant le nettoyage (contrôle négatif)



Après le nettoyage par pulvérisation air-poudre-eau



Après le nettoyage électrolytique